

EPMA의 地質學에의 應用

尚 基 南*

The Application of Electron Microprobe Analysis in Geological Science

Ki Nam Sang

Abstract: The newly discovered minerals found during 30 years have been discovered with electron microprobe analysis, and several other new minerals have been described largely on the basis of probe analysis.

Widely used types of instrument are the wavelength dispersive spectrometer (WDS) and the energy dispersive Spectrometer (EDS), with emitted X-ray dispersed by a curved crystal that is arranged to satisfy the Bragg equation ($n\lambda=2dsin\theta$).

Atomic Nos of Z 4 to 92 can be analyzed quantitatively if they present in amount exceeding 50~100ppm.

The application of the microprobe in mineralogical and geological research is quantitative chemical analysis of grains as small as a few microns in diameter, individual grains in a rock or can be analyzed in thin section and polished section, analysis can be made comparatively short time, methods in non-destructure, to photographic and crystallographical information.

This paper was written in order to document data evaluation procedure for quantitative energy dispersive electron probe analysis.

序 言

岩石礦物 및 月石의 定量, 定性分析, 固溶體濃度, 累帶構造 等의 研究方法으로 새로이 응용된 것이 Electron Probe Micro Analysis (EPMA) 혹은 X-Ray Micro probe Analysis (XMA) 이다.

최근 EPMA의 活用에 따라 100餘種의 新種礦物 發見과 每年 30種 以上의 矿物이 學術誌에 發表되고 있다. 金屬材料, 電子材料, 烹業材料, 高分子 등의 多方面에 응용되고 있다.

Scanning Electron Microscope (SEM)과 Transmission Electron Microscope (TEM) 등이 開發되어 電子線을 試料表面에 (직경土 $1\mu m$ 내외)照射 하므로서 X-線으로 각 원소의 分析이 가능하게 되었다.

質量分析의 原理는 프랑스의 Hiller에 의해서 1947年에 發表되었으며 EPMA는 Castaing et. al, (1949)이고 안하여 프랑스 CAMECA 회사에서 처음으로 試作하여 研究用으로 1956年에 ONERA와 IRSID에 供給하게 되었다. 1960年 후반기에는 各國에서도 製品을 市

販하게 되었다.

그후 Fitzgerald et. al (1968)이 Energy Dispersive X-Ray Analysis (EDX)法을 개발하였으며, Reed & Ware (1973)에 의해 硅酸鹽分析法이 確立되어 定量分析이 가능하게 되었다.

Lamheirich & Foster는 鎌山에서 채취된 Slime을 Li. Drifted Silicon, Solid State Detetor로 矿產物品位를 研究하였다.

Dunham & Wilkinson (1978)에 의해서 Wavelength Dispersive X-Ray Analysis (WDX)法을 발표하여 EDX법보다 분석시간이 단축된다는 것을 규명하였다.

최근에는 10개이상의 원소에 대한 결과를 1분이내에 얻어낼 수 있게 되었다(Peak 분리, ZAF 補正).

이와같이 EPMA를 應用하여 지질학분야에 至大한 貢獻을 하였다.

최근 2,3年 동안에는 국내 각 기관에 도입되어 광물, 암석, 광상분야에의 활용이 기대된다.

EPMA의 原理

電子(Electron)를 試料表面에 照射하는 것은 SEM(주

* 釜山大學校 地質學科

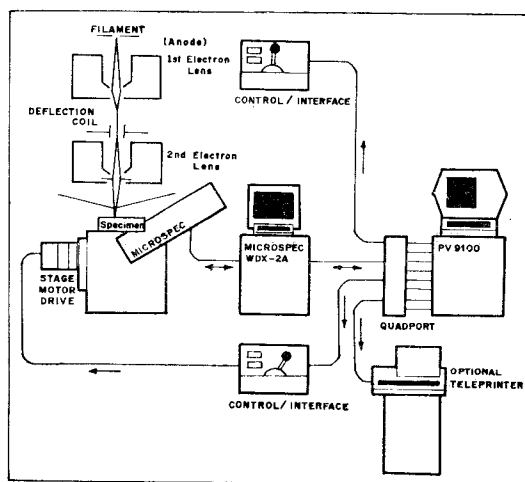


Fig. 1 Schematic diagram of Electron Probe Micro-Analysis.

사전자현미경이나 TEM(투과전자현미경)은 같은 원리로, 真空中 냉스텐(W) Filament를 가열시켜 방출된 熱電子를 加速電壓(Accelerating Voltage 10~30kV)으로 시료표면에 照射시킨다.

試料中 特定元素에 의해서 發生된 X線의 一部는 試料中에 吸收(Absorption)되고, 一部는 X線螢光을 發生하게 된다.

성분의 检출은 加速電壓으로 發生된 X線이 試料中心部를 회절하여 Bragg角에 의해서 선별되어, 檢出器(Detector)로 检출된다.

加速電壓으로 인하여 反射電子比가 增加하므로 補正係數의 增加에 따른 強度比의 測定이 요구된다. 最近에는 WDX法이 開發되어 分析計算은 Peak분리, 補正是 Computer로 처리되고 주요 Program은 Floppy Disk로 내장되고 있다. Floppy Disk에는 標準試料, Bence & Albee法에 의한 補正係數, X線 Energy와 Absorption Edge가 내장되고 있다.

以前에는 手動操作으로서, 使用者の 속력도에 따라, 오차의 原因은 X線分光器의 波長調整, 試料鍊磨의 不正確性, 電子 Beam의 不安定 및 機器의 長時間使用으로 인한 電壓의 不安定에 基因된다. EPMA의 主要機能을 要約하면 다음과 같다(Fig. 1).

分析試料의 鍊磨

EPMA用 試料의 鍊磨方法은 岩石薄片이나 金屬鍊磨片과 같은 方法으로 鍊磨한다. 1次로 연마한 후 편광현미경이나 금속현미경 하에서 對象試料의 組成을 관찰하게 된다. 試料를 관찰한 후 酸化크롬(0.5~1μm) 연

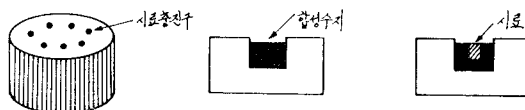


Fig. 2 Diagram of Preparation in Powder Specimens.

마재로 유리板 위에서 연마한다.

최종연마과정에서 Diamond Paste를 使用하는데, DUR Cloth (Nylon) 위에 3μm Diamond Paste에 Lubricant油를 첨가하여 약 30분간 연마한다.

2段階로 MOL Cloth (Silk)로 10~20분간 연마한다.

3段階로, 0.25μm Diamond Paste로 約 10분동안 연마하므로서 분석시료용으로 完成된다.

그러나 2段階에서 연마된 시료를 경하에서 관찰한結果, 精密히 연마되었으면 三段階過程을 거치지 않아도 된다.

構成시료에 따라 연마방법이 다를 수 있으며 硅酸鹽, 碳酸鹽礦物들은 風化 및 吸着水分包有에 따라서 試料製作法도 다르다.

粉末 혹은 微粒狀의 岩石礦物類은 前述한 方法으로製作할 수 없으므로, 合成樹脂나 Wood's Metal로 充填하여 연마한다. 試料容器(Sample Holder)의 規格은 2~3cm내외의 직경으로서, 시료를 원형구멍에 충진하여 연마한다.

合成樹脂는 Epoxy, Polyester, Penol 등의 硬化劑와 Aclyle, Polyester, Vynle 등의 열가소성수지가 사용된다. 이들 合成樹脂는 非電導性(Dielectric)이므로 電導性인 Strues A Nos 1·2를 使用하고, 一部는 低融合金(Bi 50%, Pb 25%, Sn 12~13% Cd 10~12%)을 사용하는 경우도 있다(Donald E.C. et al., 1965) (Fig. 2).

Strues製品인 Dp U⁺, Pb M Type를 사용하면 시료연마시간의 단축과 정밀도의 향상을 기할 수 있다.

Vaccum Evaporated Carbon법은 연마시료 표면에 炭素蒸着을 하므로서 電子 Beam의 電導率를 높이기 위한 것이다. 한편 Carbon Film의 두께에 따라서 分析值의 오차를 가지고 올 수 있으므로 증착에 따른 속력을 요하게 된다.

炭素 두께의 測定은 困難하므로 색깔로서 區分하고 있다(Table 1).

Desborough et al(1971)는 Si, Mg, Al 및 S원소의 分析條件을 加速電壓 6kV 0.04μA 下에서 分析한다고 가정할 때 吸收補正係數, 原子番號等의 补正係數는 無視된다고 報告한 바 있다. 分析의 正確度는 電子 Beam을 吸收하는 Carbon Film Thickness에 따라 影响을 받는다고 지적한바 있다(Kerck et al., 1973).

上述한 바와 같이 X線强度는 증착막이 있는 경우

Table 1 Approximate Thickness of Carbon Film.

Approximate Thickness	Color
150Å	Orange
200Å	Indigo Red
250Å	Blue
300Å	Bluish Green
350Å	Greenish Blue
400Å	Pale Green
450Å	Silver Gold

와, 없는 경우를 어느 정도 감소하는지 다음과 같이 설명하였다.

$$\Delta I = I - \frac{I_f}{I_0}$$

$$= I - \left(1 - \frac{8.3 \times 10^2 \rho z}{V_0^2 - V_z^2} \right) \exp \left[-\left(\frac{\mu}{\rho} \right) \rho z \operatorname{Cosec} \phi \right]$$

I_0 : 막두께 0인 경우의 강도

I_f : 막두께 $Z(\text{cm})$ 인 경우의 강도

ρ : 密度

V_0 : 加速電壓

V_z : 臨界勵起電壓

μ/ρ : 質量吸收係數

ϕ : Euritic Angle.

理論式과 實驗值는 比較的一致되고 As_2S_3 glass 上에는 300Å에서 1200Å의 炭素蒸着후 X-線強度를 조사한 結果 As L_a線 強度는 200Å에서 600Å까지는 감소 안되고 900Å를 초과하면 급격히 감소되고 한편 SK_a의 強度는 300Å에서 900Å까지는 급격히 감소되고 1200Å의 시료강도는 900Å에서의 強度들과 비교할 때 별로 변하지 않는다.

따라서 모든 元素의 X-線強度는 直線的으로 減少하지 않는다.

標準試料나 未知試料의 Carbon Film 處理에 있어서 可能한 同一 Sample Holder로 同一條件下에서 作成하여야 된다. 이와같이 (1) 원자번호 11 (Na) 이상의 원소에 對하여 Carbon 두께의 차이가 200Å以上이고 加速電壓 20kV일때는 1% 以內의 오차가 생기고 15kV에서는 2% 以內가 생기며 만약 Film 두께差가 100Å以下의 條件에서는 加速電壓 15kV인 경우 오차가 1% 이내다. 加速電壓 10kV 이하의 조건하에서 Na 以下の 원소에 대한 Carbon 두께로 인한 分析誤差는 현저하다.

前述한 바 같이 시료연마과정도 주요할 뿐만 아니라 分析用 Film 두께에 따라 많은 分析誤差가 發生하게 되므로 包有元素에 따른 Carbon Coating에 유의하여야 한다.

標準試料(Standard Sample, Reference Material)

암석 광물중에는 大量의 산소가 함유되어 있으므로 산소를 정량적으로 측정하기는 곤란하다. 표준시료(자연산 및 합금)는一般的으로 산화물을 이용한다. 표준시료는 성분의 분포가 균일하여야 하며 시료의 직경이 50μm 내외로 EPMA하에서 분석되어야 된다.

암석 광물연구용의 표준시료는 各國에서 研究結果와 표준시료를 開發하여 세계각국의 관련연구기관에 공급하고 있다. (유상 또는 무상)

주요연구기관은 다음과 같다.

CCRMP: Canadian Certified Reference Material Project.

USGS: United States Geological Survey.

USGS-AES: USGS & Association of Exploration Geochimist

NBS: National Bureau of Standard

상기 연구기관에서 가장 많은 종류의 표준시료를 판매하고 있다. 이외에 다음 기관에서도 일부시료를 공급하고 있다.

ASK: Analytisk Sporelement Komit

IAEA: International Atomic Energy Agency

GSJ: Geological Survey of Japan

NIM: National Institute For Metallurgy

규산염광물의 표준시료는 Alkakli 성분이 함유되어

Table 2 Standard Sample.

원 소	광 물 명	비 고
Na	Albite	자연산
Mg	Periclase	합성
Al	Corundum	"
Si	Quartz	자연산 아합성
K	Adularia	자연산
Ca	Wollastonite	합성
Ti	Rutile	"
Cr	Chromite	"
Mn	Rhodonite	합성
Fe	Hematite	자연산
Co	Co-Olivine	합성
Ni	금속	합성
Au-Ag	SRM-481	NBS*
W-Mo	SRM-480	"
Au-Cu	"	"
Fe-Si	SRM-483	"

* NBS: National Bureau of Standard.

있어 전자 Beam에 약하므로 합유성분이 균질한 유리로 합성하여야 된다. 천연산 중에서도 호주의 NSW, Kaersutite나 日本의 Hachoshima, Olivine 등이 표준시료용으로 규산염 광물분석에 많이 이용되고 있다. 표준시료는 다음과 같다(Table 2).

分 析 方 法

분석시료(광물, 암석)와 표준시료를 동일한 Sample Holder에 설치한 후 전자 Beam을 조사하게 된다.

Warm Up, 가속전압과 조사전류의 설정, 전자 Beam의 조정으로 분석과정이 시작되나 상세한 것은 Fig. 1에 도시하였다. 분석법은 WDX방법과 EDX 방법으로 나뉜다.

WDX방법(Wavelength Dispersive Method)

X-선의 분광을 이용하여波長別로 분산시킨 후 검출된 Spectrum을 전기신호로 변환하는 것을 WDX 방법이라 한다. 원자번호 4(Z)Be부터 검출이 가능하며 원소에 따라 10~100ppm까지 분석이 가능하다. 회折結晶은 LiF, PET, TAP 및 Stearite 등이 사용되고 파장은 1.14Å부터 92.4Å까지 적용되고 측정기는 Ar-Filled Flow Proportional Counter(FPC)와 Xenon Filled Sealed Proportional Counter(SCP)로 측정한다. 최근에는 Microprocessor로 파장, Slit, Slit 위치, 회折結晶선정도 자동으로 처리한다.

EDX방법(Energy Dispersive Method)

넓은 Energy 폭을 가진 X선을 LN(액체 질소로 충전), Si 검출기, 입사 X-선 Energy에 비례하기 위하여 변환시켜 분석하는 방법을 EDX방법이라 한다. 분석속도가 빨라서 10성분내외를 1분이내에 결과를 얻을 수 있으며 6(Z)C로부터 검출할 수 있다. 정성과 정량의 두 Program을 적용시키고 경원소는 WDX를 채택하여 ZAF법으로 분석이 가능하다.

補正法(Correction Method)

보정법은 두 방법으로 구분할 수 있으며, 첫째는 경험적 방법과, 둘째는 전자를 Exciting시켜서 X-선 강도에서 발생되는 물리적 특성을 보정한다. 분석 대상물질은 대부분 자연산의 암석 광물이므로 그 구성원소가 다양하기 때문에 X-선 강도를 측정 후 보정법에 의해서 계산(보정계산)을 함으로써 분석치를 구할 수 있다.

Bence and Albee법

Bence & Albee (1968)에 의해서 규산염 광물분석에 적용된 방법이다.

珪酸鹽礦物, 酸化礦物等의 2成分系에 있어서 酸化物

의 重量濃度(C)와 원소의 特性 X-線 端成分에 대한 強度比의 관계는 다음과 같은 식으로 설명된다.

$$\frac{I-K_A^{AB}}{K^A AB} = \alpha^A AB \frac{1-C_A^{AB}}{C^A AB} \quad (1)$$

C_A^{AB} : AO-BO 2成分系에 있어 重量濃度(AO).

K_A^{AB} : Background를 떨어뜨린 후 補正한 A特性 X線 端成分 AO에 대한 強度比.

α_A^{AB} : AB-AB 합. 加速電壓, X線角에서 정하여지나 Constant.

多成分系의 補正係數(β)

$$\beta^A ABC \cdots n = \frac{C^A ABC \cdots n}{K^A ABC \cdots n} \quad (2)$$

β 係數의 경우 充分한 精度로 α 係數의 各酸化物 重量濃度의 平均이다.

酸化物의 重量濃度가 未詳이므로 K와 C의 近似值로 β 를 求하여 K와 β 에서 C를 구하는 계산을 구하여 推定值를 구한다.

α factor는 10特性 X線과 11個酸化物로 하여 一部 實驗과 計算으로 구하여진다. 本方法은 Correction Methods로서 α 係數는 여러가지 加速電壓, 取出角을 쉽게 求할 수 있다.

例를 든다면 Fe_2O_3 와 FeO 의 換算方法은 O, Fe 갯수를 구하여 Fe_2O_3 와 FeO 의 強度比를 구하면 된다.

ZAF補正法(원자번호(Z), 출수(A), 형광보정(F))

EPMA測定에 있어서 物理的現象은 원자번호(Z)에 따라 X-線試料에 의한 吸收(A) 2次 X-線 發生에 따른 融光(F) 등을 ZAF補正法이라 칭한다. ZAF補正法의 처음試圖는 Sweatman and Long에 의해서 이루어졌다.

그후 Heinrich는 Sweatman et al. 법을 一部修正하여 發表하였다.

Long(1969)에 의하면 ZAF補正法을 다음과 같이 설명하고 있다.

$$C_{\text{true}} = C_{\text{measured}} \times \frac{R_0}{R_1} \times \frac{S_1}{S_0} \times \frac{f(x)_0}{f(x)_1}$$

原子番號 吸收
補正 補正

$$\times \frac{(1+\gamma_0)}{(1+\gamma_1)} \times \frac{1+\phi_0}{1+\phi_1}$$

螢光補正 螢光補正
(特性×線) (白色×線)

0: 標準試料

1: 未知試料

原子番號 補正에는 Duncumb et al.(1966), 吸收補正은 Heinrich(1968), 特性 X線에 의한 融光補正是 Reed(1965)에 의해서 各種 Program이 開發되었다.

研究動向

EPMA가 開發된 1960年度 初期에는 金屬組成研究에 많은 應用을 하였으며, 그 후 1960年度 後半부터는 地質學分野에 응용하기 始作하였다.

EPMA는 원소조성이 復雜하지 않은 金屬(Alloy)分野에는 쉽게 適用되어 왔으나 元素組成이 復雜한 鎌物은 測定補正에 있어서 많은 問題點을 떤지고 있었다. Bence and Albee法에 의한 α -factor 補正, Sweatman-Long法에 의한 ZAF法 確立과 電子計算機의 急速한 發達로 結果가 신속히 처리되었다. 과거 15年동안 선진國에서는 地質, 鎌床, 鎌物學研究에 至大한 貢獻을 하였다.

EPMA를 이용하여 1960年初 최초로 발견된 新種鎌物로서, Stumpfl가 西아프리카 Drikop鎌山의 白金鎌石中에서 白金化合物 Pt Sb₂를 發表하였다. 當時에 新種鎌物로 記載한 것 中 Iazarevicite(Cu₃AsS₄)와 EPMA發明者의 이름을 따서 Castaingite(Cu Mo₂S₅)로 命名하였으나 發見後 既鎌物로 無明된 例도 있다.

Iazarevicite=Arsenosulvanite

Castaingite=Molybdenite

EPMA分析에 의해서 新種鎌物이 150餘種, 陨石 19종, 月石中 3種이 최근 80년까지 규명되었다.

既發表된 鎌物化學組成도 EPMA에 의거 訂正된 例를 들면 다음과 같다.

Frieslebenit은 Ag₅Pb₈Sb₅S₁₂-Ag Pb Sb S₈인 것을 立證하였다. 累帶構造로 1961年 Bahezre et al(1961)에 의해서 Cassiterite 중에는 합유된 색깔에 따라 Ti, Fe, Ta가 합유된 累帶構造를 처음으로 發見하였으며, Leung(1974)는 Titan-Augite의 Sectoral Growth를 Alkali Basalt 中에서 (100), (110), (010)에 Al, Ti, Fe가 存在하며 (111)에는 Si, Mg가 存在하는 것을 無明하였다.

또한 Hawaii 溶岩湖의 225ft 斷面試料 10개를 採取하여 輝石, 長石, Spinel, Fe-Ti 酸化物, 유리質 등을 分析한 結果, 上部 急冷部와 内部 過度差位를 無明하게 되어 火山岩의 magma에 대한 化學組成無明에 많이 應用되고 있다.

鎌石鎌物研究에 있어 鍊磨薄片으로 鎌物組成을 無明함과 同時에, 定性, 定量分析值을 구하여 化學組成, 固溶體組成을 無明하므로 Mineral Succession과 Ore Genesis를 研究하게 된다.

結　　言

EPMA의 研究領域은 1) 固溶體組成의 決定, 2) 化

學組成無明, 3) 相平衡研究, 4) 鎌石 및 脈石鎌物의 化學組成, 5) 新鎌物과 誤認鎌物의 無明, 6) 鎌床生成條件의 推定 등을 들 수 있다.

國內의 當面課題로는 標準試料, 合成試料의 確保, 各元素에 대한 Program 開發과, 기기값이 臺當 2억원(約25萬弗) 이상의 高價의 기기이므로 維持管理에 人的 자원確保와 運營費의 뒷받침이 요청된다.

參　考　文　獻

- Bahezre, P.C., Capitain, M. and Dung, P.K. (1961) Bull. Soc., Simmons.
- Beaman, D.R. and Isasi JA. (1970) Anal. Chem., v. 42, 1540p.
- Bence, A.E. and Albee, A.L. (1968) Jour. Geol., v. 76, 382p.
- Castaing, R. (1951) Ph.D. Thesis University of Paris.
- Charles, M., Taylor and Arthur, S. Redthe (1965) Economic Geology., v. 60, p. 1306-1319.
- Desborough, G.A. and Heidel, R.H. (1971) Am. Mineral., v. 56, 2129p.
- Duncumb, P. and Shield, P.K. (1966) The Electron Microprobe. John Wiley Wiley N.Y.
- Dunham, A.C. and Wikinson, F.C.F. (1978) X-ray Spectrometer., v. 2, p. 69-74.
- Fitzgerald Keil. and Heinrich (1968) Science., v. 159, 3814p.
- Heinrich, K.F.J. (1968) Advance S-ray Anal., v. 11, 40.
- Heinrich, K.F.J. (1972) Anal. Chem., v. 44, 350p.
- Henoc, J. (1968) Quantitative Electron Probe Micro Analysis., U.S.G.S., 197p.
- Innos, P.P. and Pluth, D.J. (1970) Soil Sci. Soc. Am., Proc. v. 33, 483p.
- Leung, L.H. (1974) Am. Mineral., v. 59, 127p.
- Kerrick, D.M., Eminhizir, L.B. and Willaume, J.F. (1973) Am. Mineral., v. 58, 920p.
- Reed, S.J.B. (1965) Brit. J. Appl. Phys., v. 10, 332p.
- Reed, S.J.B. and Ware, N.G. (1973) X-ray Spectrometer 2, p. 69-74.
- Springer, G. (1967) Neues Jahrb Mineral Abh. 241p.
- Sweatman, T.R. and Long, J.V.P. (1969) J. Petrol., v. 10, p. 332-382.
- Wesley, M. Jhonson and John, A. Maxwell (1981) Chemical Analysis. John Wiley Sons. N.Y. v. 27,

p. 415-425.

(Periodicals)

MICRON: The International Journal of Electron Microscopy, Electron Probe Micro-Analysis and Associated Techniques. Pergamon Press. N.Y.

The EDAX EDITor International.

Applied Spectroscopy: Society for Applied Spectro-

scopy.

Computors & Geosciences, Pergamon Press. N.Y.

Journal of Mineralogical Society of Japan: Studies on the Chemical Composition of Minerals by Electron Probe Micro Analysis, Special Issue (1966).

X-ray Spectrometer.